

УДК 539.3

ОЦЕНКА УЧЕТА МОМЕНТНЫХ СВОЙСТВ СРЕДЫ НА ПРИМЕРЕ НЕСТАЦИОНАРНОЙ ОСЕСИММЕТРИЧНОЙ ЗАДАЧИ

© 2021 г. Д. В. Тарлаковский^{a,b,*}, Нгуен Ван Лам^{a,**}

^a *Московский авиационный институт (национальный исследовательский университет),
Москва, Россия*

^b *НИИ механики МГУ имени М.В. Ломоносова, Москва, Россия*

**e-mail: tdvhome@mail.ru*

***e-mail: nvlammai2019@gmail.com*

Поступила в редакцию 28.02.2021 г.

После доработки 28.02.2021 г.

Принята к публикации 04.03.2021 г.

Дана оценка учета моментных свойств среды на примере нестационарной осесимметричной задачи о распространении возмущений от сферической полости в среде Коссера. С этой целью для перемещений и угла поворота выделяется упругие составляющие этих полей. Используются разложения искомых функций в ряды по полиномам Лежандра и Гегенбауэра, преобразование Лапласа по времени, а также метод малого параметра, в качестве которого используется коэффициент, характеризующий связь перемещений и угол поворота. Оригиналы регулярных составляющих решения вычисляются с помощью вычетов в линейном приближении по малому параметру. Приведены примеры расчетов для материала в виде зернистого композита из алюминиевой дроби в эпоксидной матрице. Показано, что количественные отличия практически отсутствуют, а качественно процессы в моментной и классической упругой среде существенно отличаются.

Ключевые слова: среда Коссера, сферическая полость, нестационарные осесимметричные возмущения, сравнение с упругим решением

DOI: 10.31857/S0572329921060143

1. Введение. С развитием современной науки и техники требуется исследование динамических процессов в композиционных материалах, которые широко применяются в различных конструкциях объектов, требуется использование моделей сплошных сред, отличных от традиционных. Таковыми являются упругие моментные среды, к которым, в том числе, относится модель Коссера [1].

Число работ, посвященных задачам нестационарной моментной теории упругости со сферической полостью, крайне ограничено. К ним относятся, например, работы [2–10]. В [2, 3] исследованы задачи о действии нестационарных осесимметричных кинематических возмущений на сферическую полость в среде Коссера. Аналогичные вопросы для упрощенной модели псевдоконтинуума Коссера рассмотрены в работах [4, 5]. В [6] дано исследование динамической связанной осесимметричной задачи микрополярной теории упругости для бесконечной в радиальном направлении изотропной среды. В статьях [7, 8] построены решения двумерных нестационарных задач для упругих моментных полупространства и полуплоскости. Осесимметричные задачи для упругих тел с несимметричным тензором напряжений со сферическими границами исследованы в работах [9, 10].

В то же время оценка учета моментных свойств среды фактически отсутствует. Этот вопрос и рассматривается в данной работе на примере задачи о распространении нестационарных осесимметричных возмущений от сферической полости в пространстве, занятом средой Коссера.

2. Постановка задачи. В пространстве, занятом средой Коссера [1], в сферической системе координат r, ϑ, θ ($r \geq 0, 0 \leq \theta \leq \pi, 0 \leq \vartheta < 2\pi$) с центром в точке O и ортонормированным базисом $\mathbf{e}_r, \mathbf{e}_\theta, \mathbf{e}_\vartheta$, рассматривается движение абсолютно твердого шара радиуса R вдоль оси Oz прямоугольной декартовой системы координат по закону $z = Z(\tau)$, где $z = R \cos \theta$, τ – время.

В [2, 3] подробно изложена постановка более общей задачи о распространении осесимметричных кинематических возмущений от сферической полости в среде Коссера, включающая уравнения движения в потенциалах, связь перемещений с потенциалами, физические соотношения, нулевые начальные условия, требования ограниченности решения и граничные условия

$$w|_{r=R} = W_0(\theta, \tau), \quad v|_{r=R} = V_0(\theta, \tau), \quad \omega|_{r=R} = 0 \quad (2.1)$$

где левые части этих равенств – ненулевые компоненты векторов перемещения $\mathbf{u} = w(r, \theta, \tau)\mathbf{e}_r + v(r, \theta, \tau)\mathbf{e}_\theta$ и поворота $\boldsymbol{\omega} = \omega(r, \theta, \tau)\mathbf{e}_\vartheta$.

Здесь и далее используются безразмерные величины со следующими единицами измерения: длина – R , время – R/c_1 , масса – ρR^3 , где c_1 – скорость распространения волн растяжения-сжатия, а ρ – плотность среды.

При условии, что в рассматриваемом варианте движения шара он жестко сцеплен со средой, соответствующий вектор перемещения \mathbf{u} и правые части первых двух равенств в (2.1) имеют вид:

$$\mathbf{u}|_{r=R} = Z\mathbf{k} = Z(\cos \theta \mathbf{e}_r - \sin \theta \mathbf{e}_\theta), \quad W_0 = Z \cos \theta, \quad V_0(\theta, \tau) = -Z \sin \theta \quad (2.2)$$

где \mathbf{k} – единичный направляющий вектор оси Oz .

3. Решение задачи. В [2, 3] кинематические параметры и компоненты напряженного состояния раскладываются в ряды по полиномам Лежандра $P_n(x)$ и Гегенбауэра $C_{n-1}^{3/2}(x)$ [11, 12]. Здесь приведем эти равенства только перемещения, угла поворота, правых частей граничных условий (2.1) и физических компонент $\sigma_{r\theta}$ и $\sigma_{\theta r}$ тензора напряжений:

$$\begin{pmatrix} w \\ W_0 \end{pmatrix} = \sum_{n=0}^{\infty} \begin{pmatrix} w_n(r, \tau) \\ w_{0n}(\tau) \end{pmatrix} P_n(\cos \theta), \quad \begin{pmatrix} v \\ \omega \\ V_0 \end{pmatrix} = -\sin \theta \sum_{n=1}^{\infty} \begin{pmatrix} v_n(r, \tau) \\ \omega_n(r, \tau) \\ v_{0n}(\tau) \end{pmatrix} C_{n-1}^{3/2}(\cos \theta) \quad (3.1)$$

$$\begin{pmatrix} \sigma_{r\theta} \\ \sigma_{\theta r} \end{pmatrix} = -\sin \theta \sum_{n=1}^{\infty} \begin{pmatrix} \sigma_{r\theta n} \\ \sigma_{\theta r n} \end{pmatrix} C_{n-1}^{3/2}(\cos \theta)$$

Коэффициенты этих рядов для искоемых функций записываются в виде сверткок (они обозначены звездочкой):

$$\begin{aligned} w_n(r, \tau) &= G_{wwn}(r, \tau) \cdot w_{0n}(\tau) + G_{wvn}(r, \tau) \cdot v_{0n}(\tau) \\ v_n(r, \tau) &= G_{vwn}(r, \tau) \cdot w_{0n}(\tau) + G_{vvn}(r, \tau) \cdot v_{0n}(\tau) \\ \omega_n(r, \tau) &= G_{\omega wn}(r, \tau) \cdot w_{0n}(\tau) + G_{\omega vn}(r, \tau) \cdot v_{0n}(\tau) \\ \sigma_{r\theta n}(r, \tau) &= G_{\sigma_{r\theta wn}}(r, \tau) \cdot w_{0n}(\tau) + G_{\sigma_{r\theta vn}}(r, \tau) \cdot v_{0n}(\tau) \\ \sigma_{\theta r n}(r, \tau) &= G_{\sigma_{\theta r wn}}(r, \tau) \cdot w_{0n}(\tau) + G_{\sigma_{\theta r vn}}(r, \tau) \cdot v_{0n}(\tau) \end{aligned} \quad (3.2)$$

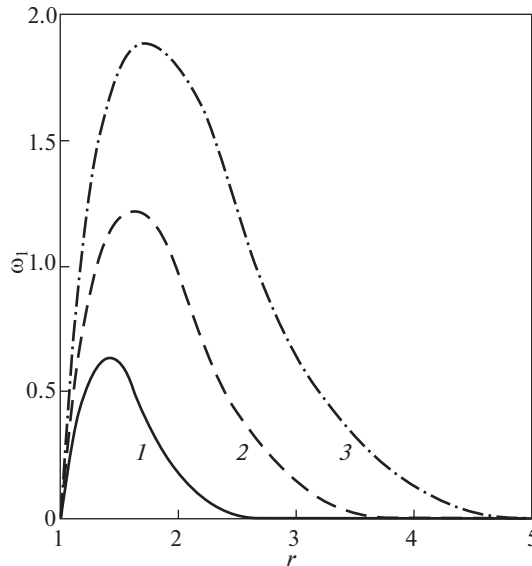


Рис. 1. Распределение функции $\omega_1(r, \tau)$ по радиусу в различные моменты времени: кривая 1 соответствует $\tau = 1.5$, 2 – $\tau = 2.5$, 3 – $\tau = 3.5$.

Ядра свертки в этих равенствах есть поверхностные функции влияния, а именно, $G_{w_{nn}}, G_{v_{nn}}, G_{\omega_{nn}}, G_{\sigma_{r\theta_{nn}}}$ и $G_{\sigma_{\theta r_{nn}}}$ – коэффициенты $w_n, v_n, \omega_n, \sigma_{r\theta_n}$ и $\sigma_{\theta r_n}$, удовлетворяющие граничным условиям

$$w_n|_{r=1} = \delta(\tau), \quad v_n|_{r=1} = \omega_n|_{r=1} = 0$$

а $G_{w_{nn}}, G_{v_{nn}}, G_{\omega_{nn}}, G_{\sigma_{r\theta_{nn}}}$ и $G_{\sigma_{\theta r_{nn}}}$ – аналогичные величины, для которых выполняются равенства

$$v_n|_{r=1} = \delta(\tau), \quad w_n|_{r=1} = \omega_n|_{r=1} = 0$$

Здесь $\delta(\tau)$ – дельта-функция Дирака [13].

Функции влияния определены в [2, 3] с помощью преобразования Лапласа в линейном приближении по малому параметру α , характеризующему связь поля перемещений с углом поворота. При этом показано, что две из этих функций имеют сингулярные слагаемые:

$$\begin{aligned} G_{w_{nn}}(r, \tau) &= r^{-1}\delta(\tau - r + 1) + G_{w_{nnr}}(r, \tau) \\ G_{v_{nn}}(r, \tau) &= r^{-1}\delta[\tau - \gamma_{1\alpha}(r - 1)] + G_{v_{nnr}}(r, \tau)\gamma_{1\alpha} = \gamma_{1\alpha}\sqrt{1 - \alpha^2\gamma_1^2} \end{aligned} \quad (3.3)$$

где $\gamma_{1\alpha}$ и γ_1 – величины, обратные скоростям распространения волн свободного вращения и сдвига. При этом изображения (им соответствует индекс “L”) $G_{w_{nnr}}^L(r, s)$, $G_{v_{nnr}}^L(r, s)$, $G_{G_{v_{nnr}}^L}(r, s)$, $G_{G_{\omega_{nn}}^L}(r, s)$ и $G_{G_{\omega_{nn}}^L}(r, s)$ являются правильными рациональными функциями параметра преобразования s , что позволяет достаточно просто находить их оригиналы с помощью вычетов.

В случае прямолинейного движения шара с учетом равенств $C_0^{3/2}(x) = 1$ и $P_1(x) = x$ из (2.2) и (3.1) получаем

$$\begin{aligned} w_{00}(\tau) = 0, \quad w_{01}(\tau) = Z(\tau), \quad v_{01}(\tau) = -Z(\tau), \\ w_{0n}(\tau) = v_{0n}(\tau) = 0 \quad (n \geq 2) \end{aligned} \quad (3.4)$$

Следовательно, в рядах (3.1) для перемещений и угла поворота отличны от нуля только коэффициенты при $n = 1$:

$$w = w_1 \cos \theta, \quad v = -v_1 \sin \theta, \quad \omega = -\omega_1 \sin \theta$$

При этом функции w_1 , v_1 и ω_1 в соответствии с (3.2) и (3.4) определяются так:

$$\begin{aligned} w_1(r, \tau) &= r^{-1} Z(\tau - r + 1) + [G_{ww1r}(r, \tau) - G_{wv1}(r, \tau)] \cdot Z(\tau) \\ v_1(r, \tau) &= -r^{-1} Z[\tau - \gamma_{1\alpha}(r - 1)] + [G_{vw1}(r, \tau) - G_{vv1r}(r, \tau)] \cdot Z(\tau) \\ \omega_1(r, \tau) &= [G_{\omega w1}(r, \tau) - G_{\omega v1}(r, \tau)] \cdot Z(\tau) \end{aligned} \quad (3.5)$$

На рис. 1 для примера приведены откорректированные по отношению к [3] графики распределения по радиусу функции ω_1 в различные моменты времени. При этом полагается, что среда является зернистым композитом из алюминиевой дробы в эпоксидной матрице [14], а закон движения шара имеет вид $Z(\tau) = \tau_+$.

4. Оценка учета моментных свойств. Ее проведем для перемещений и угла поворота. При этом учитываем, что значение $\alpha = 0$ соответствует классическому упругому решению [2, 3]. Следовательно, разность

$$\mathbf{u}_c = \mathbf{u} - \mathbf{u}_e, \quad \mathbf{u}_e = \mathbf{u}|_{\alpha=0} = w_e(r, \theta, \tau) \mathbf{e}_r + v_e(r, \theta, \tau) \mathbf{e}_\theta \quad (4.1)$$

определяет вклад в перемещения особенностей модели моментной среды.

Оценку аналогичного вклада в вектор поворота проводим с помощью следующих величин:

$$\begin{aligned} \boldsymbol{\omega}_{ce} &= \boldsymbol{\omega} - \boldsymbol{\omega}_e = \boldsymbol{\omega}_{cp} - \boldsymbol{\omega}_{pe} = \boldsymbol{\omega}_{ce} \mathbf{e}_\theta, \quad \boldsymbol{\omega}_{cp} = \boldsymbol{\omega} - \boldsymbol{\omega}_p = \boldsymbol{\omega}_{cp} \mathbf{e}_\theta \\ \boldsymbol{\omega}_{pe} &= \boldsymbol{\omega}_p - \boldsymbol{\omega}_e = \boldsymbol{\omega}_{pe} \mathbf{e}_\theta \\ 2\boldsymbol{\omega}_e &= \text{rot} \mathbf{u}_e, \quad 2\boldsymbol{\omega}_p = \text{rot} \mathbf{u} \end{aligned} \quad (4.2)$$

Отметим, что векторы $\boldsymbol{\omega}_e$ и $\boldsymbol{\omega}_p$ соответствуют моделям теории упругости и псевдо-континуума Коссера [1].

Для соответствующих функций влияния вводим подобные (4.1) и (4.2) обозначения:

$$\begin{aligned} G_{\zeta ce} &= G_\zeta - G_{\zeta e}, \quad G_{\zeta e} = G_\zeta|_{\alpha=0} \quad (\zeta = wwnr, wvn, vwn, vvnr, \omega wn, \omega vn) \\ G_{\zeta cp} &= G_\zeta - G_{\zeta p}, \quad G_{\zeta pe} = G_{\zeta p} - G_{\zeta e} \quad (\zeta = \omega wn, \omega vn) \end{aligned} \quad (4.3)$$

Сначала рассматриваем соответствующие перемещения функции. В силу их аналитической зависимости от малого параметра α имеют место следующие соотношения:

$$G_{\zeta ce}(r, \tau) = O(\alpha), \quad \alpha \rightarrow 0 \quad (\zeta = wwnr, wvn, vwn, vvnr)$$

Для координат векторов в (4.1)

$$w_{nce} = w_n - w_{ne}, \quad v_{nce} = v_n - v_{ne}, \quad w_{ne} = w_n|_{\alpha=0}, \quad v_{ne} = v_n|_{\alpha=0}$$

из первых двух равенств в (3.5) получаем

$$\begin{aligned} w_{nce}(r, \tau) &= G_{wwnrce}(r, \tau) \cdot w_{0n}(\tau) + G_{wvnce}(r, \tau) \cdot v_{0n}(\tau) \\ v_{nce}(r, \tau) &= r^{-1} \{v_{0n}[\tau - \gamma_{1\alpha}(r - 1)] - v_{0n}[\tau - \gamma_1(r - 1)]\} + \\ &+ G_{vwnce}(r, \tau) \cdot w_{0n}(\tau) + G_{vvnrcce}(r, \tau) \cdot v_{0n}(\tau) \end{aligned}$$

Для разности в первом слагаемом во втором равенстве с учетом (3.3) при $\alpha \rightarrow 0$ справедливо соотношение

$$\begin{aligned} & v_{0n} [\tau - \gamma_{1\alpha} (r-1)] - v_{0n} [\tau - \gamma_1 (r-1)] = \\ & = \frac{\gamma_1^3 (r-1)}{2} v_{0n} [\tau - \gamma_1 (r-1)] \alpha + o(\alpha) = O(\alpha) \end{aligned}$$

Следовательно, имеют место равенства $w_{nce}(r, \tau)$, $v_{nce}(r, \tau) = O(\alpha)$, $\alpha \rightarrow 0$, т.е. поправки, вносимые в перемещение за счет учета моментных свойств, имеют порядок α .

Для оценки влияния учета моментных свойств на угол поворота, прежде всего, замечаем, что для ненулевой координаты вектора ω_{pe} в (4.2) справедливо соотношение $\omega_{pe}(r, \tau) = O(\alpha)$, $\alpha \rightarrow 0$.

Очевидно, аналогичные оценки имеют место и для функций $G_{\omega_{wnpe}}$, $G_{\omega_{vpe}}$:

$$G_{\omega_{wnpe}}(r, \tau), \quad G_{\omega_{vpe}}(r, \tau) = O(\alpha), \quad \alpha \rightarrow 0 \quad (4.4)$$

Далее выражаем ненулевую координату вектора ω_{cp} через перемещения:

$$\omega_{cp} = \omega - \frac{1}{2r} \left[\frac{\partial(rv)}{\partial r} - \frac{\partial w}{\partial \theta} \right]$$

При этом из формул для напряжений $\sigma_{r\theta}$ и $\sigma_{\theta r}$ в [2, 3] следует равенство

$$\sigma_{r\theta} - \sigma_{\theta r} = 2\alpha \left[\frac{\partial(rv)}{\partial r} - \frac{1}{r} \frac{\partial w}{\partial \theta} - 2\omega \right] = -4\alpha \omega_{cp}$$

Отсюда вытекает, что при любом $n \geq 1$ равенство справедливо соотношение $4\alpha \omega_{ncp} = \sigma_{\theta rn} - \sigma_{r\theta n}$. Следовательно, функции $G_{\omega_{bncp}}$ ($b = w, v$) можно вычислить так:

$$4\alpha G_{\omega_{wncp}} = G_{\sigma_{\theta rwn}} - G_{\sigma_{r\theta wn}}, \quad 4\alpha G_{\omega_{vncp}} = G_{\sigma_{\theta rvn}} - G_{\sigma_{r\theta vn}} \quad (4.5)$$

Дальнейшие выкладки удобнее провести в пространстве преобразования Лапласа по времени. Используя построенные в [2, 3] изображения функций в правых частях равенств в (4.5), приходим к таким результатам:

$$\begin{aligned} G_{\omega_{bncp}}^L(r, s) &= \tilde{G}_{\omega_{bncp}}^L(r, s) + O(\alpha) \quad (\alpha \rightarrow 0), \quad \tilde{G}_{\omega_{bncp}}^L(r, s) = H_{\omega_{bncp}}^L(r, s) e^{-\gamma_1(r-1)s} \\ H_{\omega_{wncp}}^L(r, s) &= \frac{\gamma_1^2 R_{n0}(\gamma_1 r s) R_{n0}(s)}{2r^{n+1} Q_n(s)}, \quad H_{\omega_{vncp}}^L(r, s) = \frac{\gamma_1^2 R_{n0}(\gamma_1 r s) R_n(s)}{2r^{n+1} Q_n(s)} \end{aligned}$$

где

$$\begin{aligned} s^2 Q_n(s) &= R_{n1}(x) R_{n3}(y) - n(n+1) R_{n0}(x) R_{n0}(y) \\ R_{n0}(z) &= \sum_{k=0}^n A_{nk} z^{n-k}, \quad A_{nk} = \frac{(n+k)!}{2^k (n-k)! k!}, \\ R_{n3}(z) &= R_{n1}(z) - R_{n0}(z), \quad R_{n1}(z) = R_{n+1,0}(z) - n R_{n0}(z) \end{aligned}$$

Таким образом, для функций $G_{\omega_{wnce}}$ и $G_{\omega_{vnce}}$ с учетом (3.4) справедливы соотношения

$$\begin{aligned} G_{\omega_{bnce}}(r, \tau) &= G_{\omega_{bncp}}(r, \tau) + G_{\omega_{bnpe}}(r, \tau) = \\ &= G_{\omega_{bncp}}(r, \tau) + O(\alpha) = \tilde{G}_{\omega_{bncp}}(r, \tau) + O(\alpha), \quad \alpha \rightarrow 0 \end{aligned}$$

С использованием их и обозначений (3.3) из третьего равенства в (2.2) с точностью до слагаемых порядка α определяем поправку, вносимую в угол поворота за счет учета моментных свойств:

$$\begin{aligned} \omega_{nce}(r, \tau) &= G_{\omega_{wnce}}(r, \tau) \cdot w_{0n}(\tau) + G_{\omega_{vnce}}(r, \tau) \cdot v_{0n}(\tau) = \\ &= G_{\omega_{wncp}}(r, \tau) \cdot w_{0n}(\tau) + G_{\omega_{vncp}}(r, \tau) \cdot v_{0n}(\tau) = \\ &= \omega_{ncp}(r, \tau) = \tilde{G}_{\omega_{wncp}}(r, \tau) \cdot w_{0n}(\tau) + \tilde{G}_{\omega_{vncp}}(r, \tau) \cdot v_{0n}(\tau) \end{aligned}$$

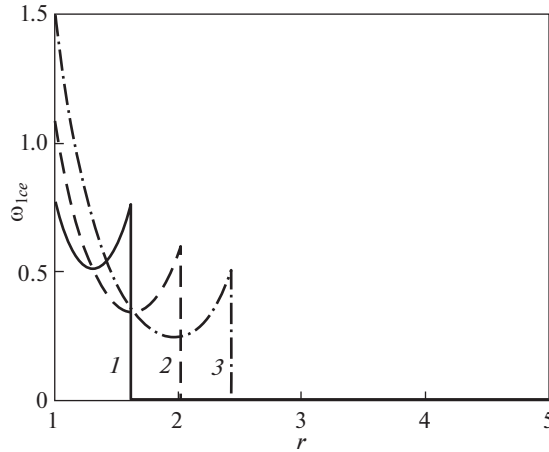


Рис. 2. Распределение поправки $\omega_{lce}(r, \tau)$ по радиусу в различные моменты времени: кривая 1 соответствует $\tau = 1.5$, 2 – $\tau = 2.5$, 3 – $\tau = 3.5$.

Отсюда дополнительно следует, что поправки, вносимые моделями Коссера и псевдоконтинуума Коссера, в линейном приближении совпадают.

Для определения оригиналов функций $\tilde{G}_{\omega_{\text{внсп}}}^L$ и $\tilde{G}_{\dot{\omega}_{\text{внсп}}}^L$ сначала выделяем целые части дробей $H_{\omega_{\text{внсп}}}^L$ и $H_{\dot{\omega}_{\text{внсп}}}^L$ как функций параметра s :

$$H_{\omega_{\text{внсп}}}^L(r, s) = \frac{\gamma_1}{2r} + H_{\omega_{\text{внсп}}}^L(r, s), \quad H_{\dot{\omega}_{\text{внсп}}}^L(r, s) = H_{\omega_{\text{внсп}}}^L(r, s) - \frac{\gamma_1}{2r}$$

$$s^{-1}H_{\omega_{\text{внсп}}}^L(r, s) = \frac{\gamma_1}{2r} + H_{\omega_{\text{внсп}}}^L(r, s), \quad H_{\dot{\omega}_{\text{внсп}}}^L(r, s) = s^{-1}H_{\omega_{\text{внсп}}}^L(r, s) - \frac{\gamma_1}{2r}$$

Оригиналы регулярных составляющих $H_{\omega_{\text{внсп}}}^L$ и $H_{\dot{\omega}_{\text{внсп}}}^L$ вычисляются с помощью вычетов. При этом оригиналы функций $\tilde{G}_{\omega_{\text{внсп}}}^L$ и $\tilde{G}_{\dot{\omega}_{\text{внсп}}}^L$ определяются так (точка обозначает производную по времени):

$$\tilde{G}_{\omega_{\text{внсп}}}^L(r, \tau) = \frac{\gamma_1 \alpha}{2r} \delta[\tau - \gamma_1(r - 1)] + G_{\omega_{\text{внсп}}}^L,$$

$$\tilde{G}_{\dot{\omega}_{\text{внсп}}}^L(r, \tau) = \frac{\gamma_1 \alpha}{2r} \dot{\delta}[\tau - \gamma_1(r - 1)] + \dot{G}_{\omega_{\text{внсп}}}^L$$

$$G_{\omega_{\text{внсп}}}^L(r, \tau) = H_{\omega_{\text{внсп}}}^L[r, \tau - \gamma_1(r - 1)] H[\tau - \gamma_1(r - 1)]$$

$$G_{\dot{\omega}_{\text{внсп}}}^L(r, \tau) = H_{\dot{\omega}_{\text{внсп}}}^L[r, \tau - \gamma_1(r - 1)] H[\tau - \gamma_1(r - 1)]$$

где $H(\tau)$ – единичная функция Хевисайда [13].

Окончательно для поправки на угол поворота получаем следующий результат:

$$\omega_{\text{внсп}}(r, \tau) = \frac{\gamma_1}{2r} w_{0n}[\tau - \gamma_1(r - 1)] + G_{\omega_{\text{внсп}}}^L(r, \tau) \cdot w_{0n}(\tau) +$$

$$+ \frac{\gamma_1}{2r} \dot{v}_{0n}[\tau - \gamma_1(r - 1)] + G_{\dot{\omega}_{\text{внсп}}}^L(r, \tau) \cdot \dot{v}_{0n}(\tau)$$

На рис. 2 приведены графики распределения функции $\omega_{lce}(r, \tau)$ по радиусу в различные моменты времени, соответствующие поступательному перемещению вдоль

оси Oz по закону $Z(\tau) = \tau_+$ жестко сцепленного с полостью абсолютно твердого шара. Они определяют поправку к результатам, изображенным на рис. 1.

Из них следует, что за исключением окрестности точки $r = 1$ поправка имеет порядок 10^{-3} , т.е. 0.1%. При этом для выбранного закона движения имеются качественные отличия, а именно, $\omega_1(1, \tau) = 0$ и $\omega_{1ce}(1, \tau) \neq 0$, а также непрерывность функции $\omega_1(r, \tau)$ и наличие разрывов первого рода в графиках $\omega_{1ce}(r, \tau)$.

5. Заключение. В линейном приближении по малому параметру найдена вносимая с учетом моментных свойств среды поправка в нестационарной осесимметричной задаче о распространении возмущений от сферической полости в пространстве. Показано, что количественные отличия практически отсутствуют. В то же время качественно процессы в моментной и классической упругой среде существенно отличаются. Эти же выводы, вероятно, можно сделать и для задач с другими геометрией и граничными условиями.

СПИСОК ЛИТЕРАТУРЫ

1. *Новацкий В.* Теория упругости. М.: Мир, 1975. 872 с.
2. *Lam V. Nguyen, Tarlaovskii D.V.* Propagation of Non-stationary Axisymmetric Perturbations from a Spherical Cavity in Cosserat Medium // *Advanced Structured Materials*, V. 122. *Nonlinear Wave Dynamics*. Springer Nature Switzerland AG, 2020. P. 273–292.
3. *Тарлаковский Д.В., Нгуен Ван Лам.* Действие нестационарных осесимметричных кинематических возмущений на сферическую полость в среде Коссера // *Упругость и неупругость. Матер. Междунар. научн. симпоз. по пробл. мех. деформ. тел, посвященного 110-летию со дня рождения А. А. Ильюшина.* Москва 20–21 января 2021 года. М.: Изд-во Московского университета, 2021. С. 6–13.
4. *Лай Тхань Туан, Тарлаковский Д.В.* Распространение нестационарных осесимметричных возмущений от поверхности шара, заполненного псевдоупругой средой Коссера // *Электронный журнал “Труды МАИ”*. 2012. № 53. URL: <http://trudymai.ru/published.php?ID=29267>.
5. *Лай Тхань Туан, Тарлаковский Д.В.* Дифракция нестационарных волн на сферической полости в псевдоконтинууме Коссера // *РЭНСИТ*. 2013. Т. 5. № 1. С. 119–125.
6. *Saxena Hirdeshwar S., Dhaliwal Ranjit S.* Application of the eigen-number method to an axisymmetric coupled micropolar thermoelasticity // *Bull. Pol. Acad. Sci. Techn. Sci.* 1990. Т. 38. № 1. P. 7–18.
7. *Белоносов С.М.* Моментная теория упругости. Владивосток: Дальнаука, 1993. 148 с.
8. *Большаков В.И., Андрианов И.В., Данишевский В.В.* Асимптотические методы расчета композитных материалов с учетом внутренней структуры. Днепропетровск: “Пороги”, 2008. 196 с.
9. *Аэро Э.Л., Кувшинский Е.В.* Континуальная теория асимметрической упругости. Равновесие изотропного тела // *ФТТ*. 1964. Т. 6. Вып. 9. С. 2689–2699.
10. *Аэро Э.Л., Кувшинский Е.В.* Основные уравнения теории упругости сред с вращательным взаимодействием частиц // *ФТТ*. 1960. Т. 2. Вып. 7. С. 1399–1409.
11. *Градштейн И.С., Рыжик И.М.* Таблицы интегралов, сумм, рядов и произведений. М.: Физматгиз, 1963. 1108 с.
12. *Справочник по специальным функциям.* Под ред. *М. Абрамовица, И. Стиган.* М.: Наука, 1979. 832 с.
13. *Горшков А.Г., Медведский А.Л., Рабинский Л.Н., Тарлаковский Д.В.* Волны в сплошных средах: Учеб. пособ.: Для вузов. М.: Физматлит, 2004. 472 с.
14. *Ерофеев В.И.* Волновые процессы в твердых телах с микроструктурой. М.: Изд-во МГУ, 1999. 328 с.